

تخمین مقدار نسبت تنش افقی به قائم (k) با استفاده از روش عددی

مطالعه موردی: تکیه‌گاه جناح چپ سد سیمراه- استان ایلام

محمد‌مهدی علی‌محمد^۱، سعید آلوودری^۲، کاوه آهنگری^۳

۱- دانشجوی کارشناسی ارشد، مهندسی معدن گرایش استخراج، دانشگاه آزاد اسلامی، واحد علوم و تحقیقات تهران

۲- استادیار گروه مهندسی معدن، دانشگاه آزاد اسلامی، واحد علوم و تحقیقات

۳- تاریخ دریافت: ۱۳۸۹/۱۲/۱۶ تاریخ تصویب: ۱۳۹۰/۶/۴

چکیده

مسائل بسیاری در تحلیل پایداری شیروانی‌های سنگی مطرح می‌باشد که شامل پیچیدگی‌های مربوط به ژئومتری، ناهمسانگردی مصالح، رفتار غیرخطی، تنش‌های برجا و وجود فرآیندهایی از جمله فشارهای آب منفذی، بارگذاری ارتعاشی و غیره می‌باشد. این تحقیق مربوط به بررسی وضعیت پایداری زون شکست موجود در تکیه‌گاه جناح چپ سد سیمراه و تخمین مقدار نسبت تنش افقی به قائم (k) است. در این منطقه به دلیل پرهزینه بودن انجام روش‌های اندازه‌گیری مستقیم تنش، از روابط تجربی برای بدست آوردن مقدار k استفاده شده است. با توجه به عملکرد نرم‌افزار گسل‌های منطقه و با توجه به نتایج بدست آمده از روابط تجربی، بازه‌ای مناسب از مقادیر k به منظور تحلیل پایداری شیروانی مذکور انتخاب شد. با ارزیابی نتایج بدست آمده از تحلیل پایداری شیروانی و با توجه به پارامترهای مهم در انتخاب k با در نظر گرفتن درجه اهمیت آن‌ها، مقدار k برابر با 0.33 ± 0.03 در نظر گرفته شد.

واژگان کلیدی: نسبت تنش افقی به قائم (K)، سد سیمراه، زون شکست، پایداری شیب، مدل‌سازی عددی، نرم‌افزار یودک

مقدمه

سنگی بر مبنای روش تعادل حدی به‌طور وسیع مورد استفاده قرار می‌گیرد. دلیل استفاده از این روش سادگی و قابلیت اجرایی این روش می‌باشد. فاکتور ایمنی حاصل از روش تعادل حدی به‌طور قاطع منحصر به فرد نمی‌باشد. دلیل آن این است که فاکتور ایمنی حاصل از این روش با توجه به وجود سطوح لغزش متغیر خواهد بود. روش‌های عددی رفتار مسائل تحلیل پایداری شامل پیچیدگی‌های مربوط به هندسه

همان‌طور که آشکار است، یکی از اهداف اصلی در تحلیل پایداری شیروانی‌های طبیعی و مصنوعی، تعیین فاکتور ایمنی شیروانی‌ها می‌باشد. فاکتور ایمنی می‌تواند در صورتی که سطح بحرانی شکست شیروانی به درستی شناسایی شود، بدست آید. سطح بحرانی شکست شیروانی، سطحی است که لغزش بر روی آن اتفاق می‌افتد و فاکتور ایمنی پائینی را دارا می‌باشد [3]. روش‌های مرسوم تحلیل پایداری شیروانی‌های

غربی شهرستان دره شهر و در ۱۰۶ کیلومتری جنوب شرقی شهرستان ایلام واقع است. مختصات جغرافیایی آن به طول شرقی ۴۷°۱۲' عرض شمالی ۳۳°۱۷' می‌باشد. ساختگاه نیروگاه نیز روبروی روستای تلخاب و به فاصله ۱/۵ کیلومتری از ساختگاه سد قرار دارد. زون شکست موجود در تکیه‌گاه جناح چپ سد سیمراه است. این زون در مجاورت سازه آبگیر تونل آب بر نیروگاه قرار دارد که بر اثر وقوع زمین‌لغزش به وجود آمده است. اهمیت پرتوه مذکور به دلیل واقع شدن این زون در نزدیکی ورودی تونل آب بر نیروگاه و مشرف بودن به مخزن سد می‌باشد [۱].

ویژگی‌های زمین‌شناسی ناحیه زمین‌لغزه و ناحیه شکست

ناحیه زمین‌لغزه در متهی‌الیه یال شمالی طاقدیس راوندی قرار گرفته که به دلیل مکانیزم عملکرد چرخشی آن، ناپیوستگی‌های متعدد کششی در لایه‌های بالائی طاقدیس با شبیه تقریباً قائم و امتدادی به موازات محور اصلی طاقدیس که امتدادی غربی-شرقی می‌باشد ایجاد نموده است. واحدهای زمین‌شناسی تشکیل‌دهنده طاقدیس شامل آسماری بالائی، آسماری میانی و آسماری پائینی می‌باشد که از سنگ‌های آهکی با ضخامت لایه‌های متفاوت و بعضی در درجات مختلف مقاومت تشکیل شده‌اند [۲]. در این بین میان لایه‌های مارنی نیز وجود دارند. جنس لایه‌های تشکیل‌شده در زون شکست شامل آهک مارنی، آهک، مارن و آهک حفره‌دار بوده که پارامترهای مقاومتی مارلستون از قبیل چسبندگی، زاویه اصطکاک، مدول تعییر‌شکل پذیری و غیره بسیار پائین می‌باشد. لذا اهمیت موضوع مورد بحث، مشرف در این بین

مدل، رفتار غیرخطی و ناهمسانگرد مواد را مجاز می‌شناسد. خصوصاً برای تحلیل پایداری شیروانی‌های سنگی روش‌های عددی مناسب‌تر می‌باشند. دلیل این امر اینست که رفتار شیروانی‌های سنگی بیشتر به خصوصیات و یکپارچگی توده سنگ بستگی دارد [۴]. یکی از مزیت‌های ویژه مسائل تحلیل پایداری به خصوص در مدل‌سازی عددی، قابلیت آن‌ها در جهت دربرداشتن حالات تنفس ابتدایی در تحلیل‌های پایداری و ارزیابی اهمیتشان می‌باشد. سنگ‌ها در عمق زمین در معرض تنفس‌های ناشی از وزن لایه‌های رویی و نیز تنفس‌های تکتونیکی که در یک محل معین تمرکز یافته‌اند، قرار می‌گیرند. تنفس‌های اولیه موجود در عمق معینی زیر سطح زمین، به صورت تنفس‌های قائم و افقی اندازه‌گیری می‌شوند [۵]. تنفس‌های بر جا در سنگ به دو طریق روش اندازه‌گیری مستقیم و روابط تجربی برآورده می‌شوند.

از جمله آزمون‌های که برای تعیین تنفس‌های بر جای محلی مطرح می‌باشد عبارتند از شکست هیدرولیکی جک تخت، بیش مغزه‌گیری، گمانهزن دیوارهای و آزمون بارگذاری صفحه‌ای [۶].

روش‌های اندازه‌گیری مستقیم تنفس، آزمون‌های پرهزینه‌ای هستند، لذا معمولاً در اجرای پرتوهای متعدد جهت تحلیل پایداری سازه‌های سنگی و محاسبه تنفس‌های بر جا از روابط تجربی استفاده می‌شوند.

با توجه به اینکه در این منطقه آزمون‌هایی برای تعیین تنفس بر جا انجام نشده است، برای بدست آوردن مولفه‌های تنفس بر جا و همچنین تعیین k (نسبت تنفس افقی به قائم) از روابط تجربی استفاده می‌گردد. ساختگاه سد سیمراه در حدود ۴۰ کیلومتری شمال

مقاطعی بدست می‌آید که بر روی توپوگرافی منطقه مورد مطالعه اختیار شود.

در این تحقیق بر روی توپوگرافی سه مقطع BB', AA' و CC' اختیار شد. برای تهیه هندسه مدل منطقه به دلایل ذیل از مقطع AA' استفاده شد.

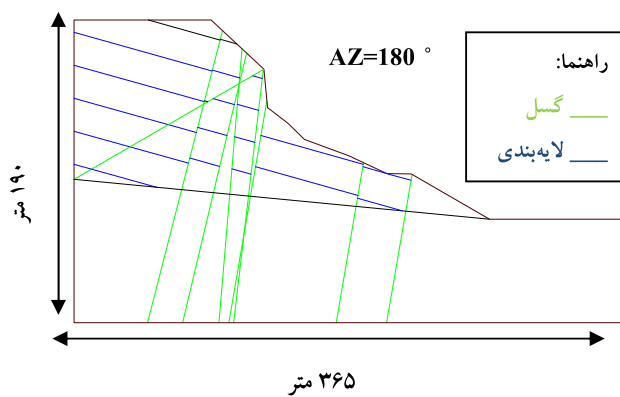
اول اینکه در این مقطع تمامی ۱۰ گسل شناخته شده در مطالعات زمین‌شناسی منطقه مورد مطالعه بدست آمده است دیده می‌شود (وجود دارد) و دلیل دیگر اینکه این مقطع نسبت به بقیه مقاطع از ارتفاع بیشتری برای شیروانی مورد مطالعه برخوردار می‌باشد. مدل مورد مطالعه دارای ارتفاعی بالغ بر ۱۹۰ متر و گسترش طولی ۳۶۵ متر می‌باشد. شیب لایه‌بندی آن نیز ۴:۱ است. شکل شماره ۱ هندسه شیروانی مورد مطالعه را نشان می‌دهد.

میانلایه‌های مارنی نیز وجود دارند. جنس لایه‌های تشکیل شده در زون شکست شامل آهک مارنی، آهک مارن و آهک حفره‌دار بوده که پارامترهای مقاومتی مارلستون از قبیل چسبندگی، زاویه اصطکاک، مدول تغییرشکل پذیری و غیره بسیار پائین می‌باشد.

لذا اهمیت موضوع مورد بحث، مشرف بودن به سازه آبگیر مخزن سد و تکیه‌گاه چپ و قرار گرفتن در منطقه زمین لغزه قدیمی می‌باشد [۲].

آنالیز حساسیت بر روی مقادیر k انتخابی با استفاده از نرم‌افزار یودک UDEC

اولین مرحله شبیه‌سازی شیروانی‌های سنگی در نرم‌افزار یودک (UDEC)، وارد کردن هندسه مدل منطقه مورد مطالعه می‌باشد. هندسه مدل توسط



شکل ۱- هندسه و ابعاد شیروانی مورد مطالعه

سازه‌های وابسته انجام پذیرفته است. این آزمایش‌ها براساس دستورالعمل‌های پیشنهادی انجمن بین‌المللی مکانیک سنگ (ISRM) و استاندارد ASTM) انجام پذیرفته است.

برای تعیین خصوصیات فیزیکی و مکانیکی نمونه‌های سنگی، آزمایش‌های آزمایشگاهی و آزمایش‌های مکانیک سنگی بر روی بیش از ۱۸۵ نمونه اخذ شده از گمانه‌های اکتشافی حفرشده در محدوده سد و

جدول ۱- مشخصات ژئومکانیکی سنگ بکر

سوم	دوم	اول	گروههای سنگی
۲/۲۵	۲/۴۴	۲/۶۲	وزن مخصوص (g/cm^3)
۶۳	۸۴/۶	۱۰۶	مقاومت فشاری تکمحوره (MPa)
۲/۶	۹/۳۲	۲۲/۵	مدول تغییر شکل پذیری (GPa)
۱۳/۰۲۷	۱۶/۹۹	۲۰/۷۱	چسبندگی (MPa)
۴۵/۴۸	۴۶/۹۱	۴۸/۱۳۸	زاویه اصطکاک
-۹	-۱۱/۲۸	-۱۳/۲۵	مقاومت کششی (MPa)
۷	۷/۵	۸	m_i
۱	۱	۱	s_i
۰/۵	۰/۵	۰/۵	a_i

همچنین خصوصیاتی که برای مصالح سنگی، مورد استفاده قرار می‌گیرد معمولاً خصوصیات ژئومکانیکی سنگ بکر است اما در بعضی از مناطق به دلیل آن که ضخامت لایه‌بندی کم بوده و به دلیل سیستم درزه‌داری منطقه که باعث ایجاد بلوک‌های بسیار باریک می‌شود و همچنین با توجه به فاصله‌داری ناپیوستگی‌ها و خصوصیات سنگ بکر، مدلسازی آن توسط نرم‌افزار یودک (UDEC) با مشکل روبرو می‌شود. به همین دلیل در این تحقیق از خصوصیات معادل (توده سنگ) استفاده شد. همچنین خصوصیات ژئومکانیکی که باید برای درزه‌ها و ناپیوستگی‌ها معروفی شود عبارتند از سختی درزه در جهت نرمال (JKn)، سختی درزه در جهت برشی (Jks)، زاویه اصطکاک و چسبندگی می‌باشد.

با توجه به وجود انواع مختلف سنگ در محدوده شیروانی مورد مطالعه و نیز ارتباط بین جنس سنگ و خصوصیات مکانیکی آن‌ها، همچنین تحلیل نتایج آزمایشات صورت گرفته، مصالح سنگی موجود در منطقه مورد مطالعه به سه گروه اول، دوم و سوم تقسیم شده است. دلیل این امر این است که نتایج هر یک از آزمون‌ها برای انواع مختلف سنگ از پراکندگی قابل توجهی برخوردار است. از طرفی هم پوشانی موجود در نتایج آزمون‌های مختلف بر روی سنگ‌ها باعث ایجاد عدم قطعیت قابل توجه در استفاده از تقسیم بنده فوق در تحلیل‌ها و کاربردهای بعدی این نتایج خواهد شد. پارامترهای اندازه‌گیری شده از آزمایشات مختلف برای مصالح سنگ بکر و توده‌سنگ عبارتند از: دانسیته، مدول تغییر‌شکل پذیری، چسبندگی، مقاومت فشاری تکمحوره، زاویه اصطکاک، مقاومت کششی، ضرایب m_i ، فاکتور دستخوردگی (که در این تحقیق از فاکتور دستخوردگی معادل ۰/۲ استفاده شده است)، ضرایب s و a که در جداول شماره ۱ و ۲ آورده شده است. از آن جایی که منطقه مورد مطالعه دارای لایه‌های مختلف مواد با ضخامت‌های متفاوت و نسبتاً پائینی در مقایسه با ارتفاع کل شیروانی می‌باشد و همچنین وجود ۱۰ گسل در شیروانی مذکور و نیز این که در روش‌های مدلسازی عددی برای جلوگیری از افزایش از آن جایی که منطقه مورد مطالعه دارای لایه‌های مختلف مواد با ضخامت‌های متفاوت و نسبتاً پائینی در مقایسه با ارتفاع کل شیروانی می‌باشد و همچنین وجود ۱۰ گسل در شیروانی مذکور و نیز اینکه در روش‌های مدلسازی عددی برای جلوگیری از افزایش خطأ به دلیل پیچیدگی هندسی مدل، تا حد امکان از هندسه ساده شده مدل استفاده می‌گردد.

مدل رفتاری الاستیک پلاستیک موهر کولمب برای محیط‌های سنگی و خاکی توسعه زیادی پیدا کرده است و این مدل رفتاری می‌تواند رفتار محیط‌های خاک و سنگ را به طور جامع مدل‌سازی کند. مدل رفتاری شکست دراکر پراگر اساساً برای شرایط خاکی مورد استفاده قرار می‌گیرد. با توجه به توضیحات ارائه شده و با توجه در اختیار داشتن پارامترهای ورودی صحیح نسبت به پارامترهای ورودی سایر مدل‌ها و اطمینان بیشتر از صحت اطلاعات مربوطه در این تحقیق از مدل رفتاری شکست موهر کولمب برای بلوک‌ها استفاده شده است. همچنین برای ناپیوستگی‌ها مدل‌های رفتاری متنوعی را می‌توان تعریف کرد که عبارتند از مدل الاستیک، تماس صفحه‌ای الاستیک، تماس نقطه‌ای پلاستیک، تماس سطحی پلاستیک، تسلیم ناپیوسته و مدل رفتاری بارتن باندیس. در این تحقیق از مدل رفتاری تسلیم پیوسته برای ناپیوستگی‌ها استفاده شده است.

تخمین نسبت تنش‌های برجا

در اکثر موارد، اندازه تنش قائم به صورت وزن روباره بیان می‌شود. تنش قائم در هر عمقی برابر حاصل ضرب عمق در وزن مخصوص روباره است. بنابراین می‌توان مولفه قائم تنش (σ_v) را با استفاده از رابطه زیر تعیین نمود:

$$\sigma_v = \gamma \cdot Z \quad (1)$$

σ_v : تنش قائم (MPa)

γ : وزن مخصوص (MN/m^3)

Z : عمق سازه از سطح زمین (m)

مولفه افقی تنش (σ_h) تابعی از مولفه قائم تنش (σ_v) بوده و رابطه آنها به صورت زیر بیان می‌گردد:

جدول ۲- مشخصات ژئومکانیکی توده‌سنگ

گروه‌های سنگی	اول	دوم	سوم
مدول تغییر‌شکل پذیری (GPa)	۲۱/۳۴	۱۱/۰۳۹	۵/۳۵
مقاومت فشاری تکمحوره (MPa)	۲۲/۳۳	۱۳/۱۹	۷/۴
چسبندگی (MPa)	۲/۲۹	۱/۲۶	۰/۷۶۷
زاویه اصطکاک	۴۹/۰۹	۴۴/۹۷	۳۹/۳۴
مقاومت کششی (MPa)	-۰/۸۲۳	-۰/۳۱۷	-۰/۱۱۴
σ_c (MPa)	۱۳/۰۹	۵/۶۸	۲/۲۶
GSI	۶۵	۵۵	۴۵
m_b	۱/۹۹	۱/۲۵	۰/۸۹
s	۰/۰۱۵۵	۰/۰۰۴۷	۰/۰۰۱۴
a	۰/۰۵۰۱	۰/۰۵۰۴	۰/۰۵۰۸

جدول شماره ۳ مقادیر پارامترهای مذکور را برای ناپیوستگی‌ها نشان می‌دهد [7].

جدول ۳- مشخصات ژئومکانیکی ناپیوستگی‌ها

نام سطح ناپیوستگی	گسل	لایه‌بندی
سختی نرمال (GPa)	۰/۷	۲
سختی برشی (GPa)	۰/۰۷	۰/۵
چسبندگی (MPa)	۰/۰۶	۰/۱۴
زاویه اصطکاک	۲۸/۵	۲۷

مدل‌های رفتاری که در این نرم‌افزار برای بلوک‌ها وجود دارد عبارتند از مدل تهی، مدل الاستیک، مدل پلاستیک موهر کولمب، مدل درزه در همه جا، مدل پلاستیک نرم‌شوندگی / سخت‌شوندگی، مدل پلاستیک دراکر پراگر [7].

۴) تشریح شود. در انتخاب این معیار شکست دو

فرضیه وجود دارد:

- ۱- مقاومت سنگ مستقل از تنש اصلی متوسط باشد.
- ۲- شکست بر روی یک یا چند صفحه توام، که از راستای تنش اصلی متوسط عبور کرده اتفاق می‌افتد و به طور مساوی در زوایای کمتر از ۴۵ درجه به راستای تنش اصلی حداکثر متمایل می‌شود.

برای معیار شکست موهر کولمب تنش‌های اصلی حداکثر و حداقل به ترتیب σ_1 و σ_3 از رابطه زیر بدست می‌آید. این رابطه در سال ۱۹۸۹ توسط گودمن پیشنهاد شد [3]:

$$\sigma_1 - \sigma_3 = c_0 + \sigma_3 \left[\tan^2 \left(\frac{\pi}{4} + \frac{\phi}{2} \right) - 1 \right] \quad (5)$$

که c_0 مقاومت فشاری نامحدود می‌باشد و از رابطه زیر محاسبه می‌شود.

$$c_0 = 2s_0 \tan \left(\frac{\pi}{4} + \frac{\phi}{2} \right) \quad (6)$$

معادله شماره ۵ نشان می‌دهد که در این مدل، تنش برشی حداکثر با تنش اصلی حداقل متناسب است. با فرض یک عمق معین همانند H . وضعیت تنش مرکب از یک مولفه تنش عمودی $\sigma_v = \gamma H$ و دو تنش افقی غیر یکسان می‌باشد. بدلیل تغییرشکل پذیر بودن توده سنگ، تنش افقی ممکن است تا زمانی که شکست توده‌سنگ اتفاق بیافتد، افزایش یا کاهش پیدا کند. یکی از حالات شکست مربوط به گسل نرمال است و مشخصه آن این است که یک محیط تکتونیکی گسترش می‌یابد. به عبارتی $\sigma_h > \sigma_v > \sigma_H$ می‌باشد [3]. با جایگزینی $\sigma_1 = \sigma_v$ و $\sigma_3 = \sigma_h$ در معادله ۵ و با توجه به فرمول نسبت تنش افقی به عمودی یعنی

$$k_{\min} = \frac{\sigma_h}{\sigma_v} \text{ خواهیم داشت:}$$

$$k_{\min} = \cot^2 \left(\frac{\pi}{4} + \frac{\phi}{2} \right) - \frac{c_0}{\gamma H} \cot^2 \left(\frac{\pi}{4} + \frac{\phi}{2} \right) \quad (7)$$

$$\sigma_h = K \cdot \sigma_v \quad (2)$$

K : نسبت تنش و مقدار آن با استفاده از روش ثقلی و در محیط پلاستیک بصورت زیر تعیین می‌گردد:

$$K = \frac{v}{1-v} \quad (3)$$

v : نسبت پواسون است و در اکثر سنگ‌ها بین بیشتر از $0/2$ تا کمتر از $0/33$ قرار دارد و لذا مقدار K همیشه کوچکتر از یک و بین $0/25$ تا $0/5$ تغییر می‌کند و این در حالی است که مقدار K حاصل از نتایج اندازه‌گیری واقعی تنش‌های برجا در 94% درصد حالات بزرگتر از ۱ و در نزدیک سطح زمین تا بیش از 4 می‌رسد.

در توده‌سنگی که رفتار پلاستیک یا ویسکو-پلاستیک دارد، مقدار K به عدد یک میل می‌کند. تحقیقات فراوانی توسط محققین در رابطه با تغییر تنش‌های برجا با تغییرات عمق در سایت‌های مختلف و برای نقاط مختلف دنیا انجام شده است. بسیاری از این داده‌ها برای اعماق کمتر از 3000 متر می‌باشد. نمونه‌هایی از نمودارهای تنش و تغییرات آن به همراه تغییرات عمق مطرح شده است.

رامل در سال ۱۹۸۶ یک تحقیق وسیعی از تغییرات تنش با تغییرات عمق توسط اندازه‌گیری‌های تنش شکست هیدرولیکی عمیق در نقاط مختلف جهان انجام داده است [3].

همچنین هوک برآون در سال ۱۹۷۸ با انجام آزمایشاتی بر روی انواع داده‌ها، تغییرات تنش عمودی و نسبت تنش افقی متوسط و تنش عمودی را با تغییرات عمق در نقاط مختلف جهان نشان می‌دهد.

$$\frac{100}{z} + 0.3 < k < \frac{1500}{z} \quad (4)$$

m : تغییرات عمق بر حسب Z

مقاومت سنگ بکر می‌تواند توسط معیار شکست موهر کولمب و با استفاده از چسبندگی c و زاویه اصطکاک

رابطه زیر توسط شئوری بهمنظور محاسبه نسبت تنش بر جای افقی و قائم ارائه گردید:

$$K = 0.25 + E_h(0.001 + 1/H) \quad (11)$$

از نکات مهم در تعیین مقدار k ، عملکرد گسل‌های منطقه می‌باشد، همانطور که گفته شد، زون شکست موجود در تکیه‌گاه چپ سد سیمراه بین 10° گسل واقع شده است و عملکرد این گسل‌ها نرمال می‌باشد. در مواردی که کوچکترین تنش اصلی حالت افقی و بزرگترین تنش اصلی حالت عمودی باشند، گسله نرمال را به وجود می‌آورند. بنابراین می‌توان با اطمینان گفت مقدار k کوچک‌تر از 1 می‌باشد.

با توجه به اینکه در این منطقه آزمون‌های مستقیم تنش برای تعیین تنش بر جا انجام نشده است بنابراین برای بدست آوردن مولفه‌های تنش بر جا و همچنین تعیین مقدار k از روابط تجربی یاد شده استفاده گردید.

با بهره‌گیری از نتایج حاصل از روابط تجربی جدول شماره 4 تهیه شده است.

جدول 4 - تعیین مقادیر نسبت بین تنش‌های بر جا، K در زون شکست موجود در تکیه‌گاه چپ سد سیمراه

تعیین k با استفاده از روابط ارائه شده					
۱۱	۱۰ و ۹	۷	۴	۳	معادله
۱/۶۱	۲/۶۶	۰/۳۵۳	۱/۱-۱۲/۵	۰/۷۳	حداکثر*
۰/۹۷	۰/۳۷۶	۰/۳۳	۱/۸۴-۲۳/۵۸		متوسط*

* مقدار حداکثر و متوسط مقدار k که در جدول آمده است براساس حداکثر ارتفاع و متوسط ارتفاع شیروانی مورد مطالعه یعنی ۱۹۰ متر و ۹۵ متر محاسبه شده است (به جز سه معادله ۹ ، ۳ و ۱۰).

با توجه به این که در منطقه مورد مطالعه، لایه‌بندی مؤثرترین ناپیوستگی در منطقه می‌باشد، میزان k تخمین زده شده از فرمول‌های 9 و 10 که توسط

در این حالت شکست سنگ به موازات بزرگ‌ترین مولفه تنش افقی σ_h خواهد بود [۳].

در مقایسه بین سنگ بکر و سنگ شکسته شده، سنگ شکسته شده ذاتاً دارای مقاومت کششی صفر و مقاومت برشی کمی خواهد بود. در حقیقت صفحات ضعیف، محدوده موجود برای k را به دلیل لغزش درزه یا بازشدگی آن کاهش خواهد داد. مقاومت برشی سنگ بکر با معیار شکست موهر کولمب با عبارت معین در فرمول شماره 5 تشریح می‌شود.

به عبارتی مقاومت برشی درزه توسط معیار کولمب با چسبندگی صفر و زاویه اصطکاک φ تعریف می‌شود. بر حسب تنش‌های اصلی یعنی σ_1 و σ_3 مقاومت برشی به شکل زیر محاسبه می‌شود [۳].

$$\sigma_1 = \sigma_3 \frac{\tan(\delta+\varphi_j)}{\tan\delta} \quad (8)$$

اگر مقادیر زاویه جهتداری δ در محدوده 15° الی 45° درجه قرار گیرد، لغزش در طول درزه‌ها قبل از اینکه مقاومت سنگ بکر بسیج شود، اتفاق می‌افتد. در عوض محدوده تغییرات برای k کاهش می‌یابد. راهاندازی با حالت ابتدائی تنش یعنی $\sigma_v = \gamma H$ و σ_h با استفاده از فرمول شماره 8 و k_{\min} و k_{\max} مستقل از عمق بوده و از طریق فرمول زیر بدست می‌آید:

$$k_{\min} = \frac{\tan\delta}{\tan(\delta+\varphi_j)} \quad (9)$$

$$k_{\max} = \frac{\tan(\delta+\varphi_j)}{\tan\delta} \quad (10)$$

در رابطه بالا

φ : زاویه اصطکاک داخلی لایه‌بندی‌ها روابط 9 و 10 معمولاً برای محیط‌های به کار برده می‌شود که توده سنگ دارای درزه‌های تقریباً منظم در تمامی قسمت‌های سنگ باشد و در آن به‌طور منظم لایه‌بندی‌ها دیده شود [۳].

هدف از این کار آنالیز حساسیت بر روی مقدار k و انتخاب آن می‌باشد.

مقادیر k که در این تحقیق و با توجه به بازه آن انتخاب شد اعداد $0/33, 0/4, 0/45, 0/5$ و $0/57$ می‌باشد. جدول شماره ۵ نتایج حاصل از تحلیل پایداری شیروانی مذکور را در مقادیر k های مختلف در دو حالت الاستیک و پلاستیک نشان می‌دهد. نتایج حاصل از تحلیل پایداری شیروانی در حالت پلاستیک نشان می‌دهد که میزان جابه‌جایی کلی بلوک‌ها با افزایش مقدار k تا مقدار $0/5$ افزایش می‌یابد اما در مقدار $0/57$ کاهش می‌یابد. با این تفاسیر مقدار حداقل جابه‌جایی کل بلوک‌ها در k برابر $0/5$ اتفاق می‌افتد. تعداد المان تسليم‌یافته نیز با افزایش مقدار k تا $0/4$ نرخ صعودی داشته سپس از مقدار آن کاسته می‌شود. حداقل تعداد المانی که تحت کشش گسیخته شده است در مقدار k برابر $0/45$ بوده و مقدار آن برابر 106 المان می‌باشد.

گودمن در سال ۱۹۷۶ ارائه شد و مستقل از عمق می‌باشد به عنوان مقادیر اصلی انتخاب k انتخاب شد. با توجه به نتایج حاصل از روابط تجربی و مقادیر موجود در جدول و با توجه به عملکرد نرمال گسل‌های موجود در شیروانی مورد مطالعه، مقدار k عددی کوچکتر از 1 در نظر گرفته شده است. به همین دلیل مقدار k محاسبه شده از معادله شماره 9 به همراه افزایش و کاهش 50 درصد آن به عنوان محدوده آنالیز حساسیت انتخاب k در نظر گرفته شد. به عبارتی خواهیم داشت:

$$0.5 \times k_{\min} < k < 1.5 \times k_{\min}$$

$$k_{\min} = 0.376 \longrightarrow \boxed{0.188 < k < 0.5}$$

از آن جایی که مقدار حداقل k در جدول $0/33$ بوده و از طریق معادله شماره 3 محاسبه شده است، به جای مقدار حداقل k در بازه بالا عدد $0/33$ را جایگزین می‌کنیم.

پس بازه انتخابی k به منظور آنالیز حساسیت به شکل زیر خواهد بود:

$$\boxed{0.33 < k < 0.5}$$

در این تحقیق با توجه به مقادیر مختلف k (نسبت تنش‌های افقی به قائم)، سطح تنش بر جا وارد بر مدل محاسبه شد و بعد از آن، مدل مذکور برای رسیدن به حالت تعادل با تعداد کافی مرحله زمانی اجرا گردید.

حالت روش کاهش مقاومت که نرم افزار یودک (UDEC) قادر به حل آن می باشد محاسبه شده است.

فاکتور ایمنی نسبت مقاومت حقیقی سنگ به مقاومت برشی کاهش یافته در شکست می باشد.

تکنیک کاهش مقاومت برشی برای اولین بار با استفاده از المان های محدود، توسط زینکیوویچ و همکارانش در سال ۱۹۷۵ به منظور محاسبه فاکتور ایمنی یک شیروانی که ترکیبی از چندین مواد است، مورد استفاده قرار گرفته شد. با اجرای تحلیل پایداری شیروانی با استفاده از تکنیک کاهش مقاومت برشی شبیه سازی هایی برای یکسری فاکتور های ایمنی آزمایشی فراینده (F) اجرا می شود. خواص مقاومت برشی حقیقی، چسبندگی (C) و زاویه اصطحکاک تکنیک کاهش مقاومت برشی برای اولین بار با استفاده از المان های محدود، توسط زینکیوویچ و همکارانش در سال ۱۹۷۵ به منظور محاسبه فاکتور ایمنی یک شیروانی که ترکیبی از چندین مواد است، مورد استفاده قرار گرفته شد. با اجرای تحلیل پایداری شیروانی با استفاده از تکنیک کاهش مقاومت برشی شبیه سازی هایی برای یکسری فاکتور های ایمنی آزمایشی فراینده (F) اجرا می شود. خواص مقاومت برشی حقیقی، چسبندگی (C) و زاویه اصطحکاک (φ) برای هر آزمون مطابق با فرمول های زیر کاهش می یابد:

$$c_{trial} = \left(\frac{1}{F}\right) c \quad (12)$$

$$\varphi_{trial} = \arctan\left(\frac{1}{F}\right) \tan\varphi \quad (13)$$

تکنیک کاهش مقاومت برشی دو مزیت اصلی نسبت به تحلیل های پایداری شیروانی تعادل حدی دارد.

جدول ۵- نتایج حاصل از تحلیل پایداری شیروانی مورد مطالعه را در مقادیر k های مختلف در دو حالت الاستیک و پلاستیک

k ۰/۵۷	۰/۵	۰/۴۵	۰/۴	۰/۳۳	مقدار k	$\frac{k}{k}$
۷/۳۶	۸/۹	۶/۸۸	۶/۵۴	۵/۷	حداکثر جابجایی کلی بلوكها (cm)	۰/۱
۲۶۷۳	۲۷۲۴	۲۷۴۹	۲۹۶۲	۲۹۴۰	تعداد المان تسلیم یافته	۰/۱
۹۲	۹۵	۱۰۶	۲۲	۲۳	تعداد المان گسیختگی تحت کشش	۰/۱
۲۷۶۵	۲۸۱۹	۲۸۵۵	۲۹۸۴	۲۹۶۳	تعداد المان پلاستیک شده	۰/۱
۲-۱۰	۲-۱۰	۲-۱۰	۲-۱۰	۲-۱۰	فاکتور ایمنی (معيار موهير (کولمب))	۰/۱
۳/۲۴	۲/۹۵	۲/۸۵	۲/۶۶	۱/۷۸	حداکثر جابجایی کلی بلوكها (cm)	۰/۱

در مجموع، بیشترین تعداد کل نقاط پلاستیک یافته در مقدار k برابر ۰/۴ بوده و مقدار آن برابر ۲۹۸۴ المان می باشد. همچنین فاکتور ایمنی محاسبه شده با توجه به مقادیر مختلف k حاکی، از پایداری شیروانی مورد مطالعه و مقدار بزرگ تر از ۲ می باشد.

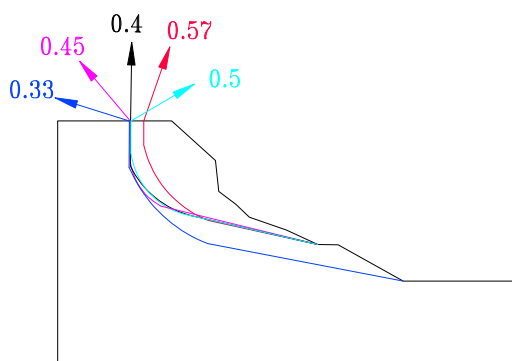
نتایج حاصل از تحلیل پایداری شیروانی در حالت الاستیک نشان می دهد که میزان جابجایی کلی بلوكها با افزایش مقدار k افزایش می یابد و در مقدار k برابر ۰/۵۷ بیشترین میزان جابجایی کلی بلوكها بوده و مقدار آن برابر ۳/۲۴ سانتی متر می باشد. همچنین در این تحقیق مدل شبیه سازی شده در

بحرانی را به ازای مقادیر k از طریق تحلیل پایداری به روش کاهش مقاومت و توسط نرم افزار یودک (UDEC) را نشان می‌دهد.

همچنین شکل شماره ۲ نشان دهنده موقعیت قرارگیری سطوح بحرانی شکست بر روی شیروانی مورد مطالعه به ازای مقادیر k می‌باشد.

جدول ۷- مشخصات مربوط به موقعیت قرارگیری سطوح بحرانی شکست شیروانی به ازای مقادیر k

عمق ترک کششی (متر)	عمق لغزش (متر)	فاصله ترک کششی تا لبه پله (متر)	مقدار k
۳۶/۱	۱۶۱/۱	۳۳/۴۶	۰/۲۳
۳۵/۴۵	۱۱۲/۸۱	۳۲/۵۲	۰/۴
۲۹/۸۹	۱۱۰/۰۳	۳۲/۶۴	۰/۴۵
۲۵/۶	۱۱۲/۸۵	۳۲/۰۳	۰/۵
۱۸/۹۴	۱۱۳	۲۱/۸۷	۰/۵۷



شکل ۲- موقعیت قرارگیری سطوح بحرانی شکست بر روی شیروانی مورد مطالعه به ازای مقادیر k

بحث و نتیجه‌گیری
برای بدست آوردن میزان نسبت تنش‌های برجای بحرانی k ، ابتدا فاکتور ایمنی مدنظر قرار گرفته شد.

اول این که، سطح لغزش بحرانی به صورت اتوماتیک وار مشخص می‌شود و تعیین شکل سطح لغزش در پیش روی، ضروری نمی‌باشد. دوم اینکه روش‌های عددی به طور اتوماتیک وار، تعادل گردشی و انتقالی را در هر المان ایفا می‌کنند در صورتی که هیچ‌کدام از روش‌های تعادل حدی قادر به انجام این کار نمی‌باشند. نتایج حاصل از تحلیل به روش کاهش مقاومت توسط در جدول شماره ۶ آمده است. نرم افزار یودک (UDEC) در جدول شماره ۶ آمده است.

جدول ۶- نتایج حاصل از تحلیل پایداری شیروانی مورد مطالعه را در مقادیر k های مختلف در حالت کاهش مقاومت

مقدار k	حداکثر جابجایی کلی بلوک‌ها (cm)	تعداد المان تسليم باقیه	تعداد المان گسیختگی تحت کشش	تعداد المان موجود در سطح شکست	تعداد المان پلاستیک شده	فاکتور ایمنی
۰/۰۷						
۱۱/۹۳	۱۱/۶۶	۹/۸۸	۱۶/۱	۱۲/۱		
۱۲۷۰۰	۱۰۶۶۷	۸۲۱۸	۹۸۹۰	۱۰۷۷۴		
۴۶۸	۷۴۶	۱۰۴۹	۱۱۶۴	۹۴۲		
۲۱۹۴	۳۱۶۴	۳۸۷۴	۳۶۰۳	۴۱۰۲		
۱۵۳۶۲	۱۴۵۷۷	۱۳۱۴۱	۱۴۶۵۷	۱۵۸۱۸		
۲/۶۸	۲/۶۸	۲/۶۶	۲/۶۷	۲/۶۵		

یکی دیگر از مسائلی که در آنالیز حساسیت بر روی مقادیر k قابل توجه می‌باشد موقعیت قرارگیری سطوح بحرانی شکست شیروانی مورد مطالعه در ازای هر مقدار k می‌باشد. جدول شماره ۷ مشخصات هر سطح

به دلیل نزدیک بودن مقدار تمامی پارامترها به جز پارامتر عمق لغزش، معیار قضاوت در این مورد، عمق لغزش انتخاب شد.

در نهایت نسبت k برابر $0/33$ با توجه به این مطلب که بزرگترین عمق لغزش را ایجاد می‌کند به عنوان نسبت تنش بحرانی مشخص شد.

منابع

- ۱- شرکت مهندسی مشاور مهاب قدس، (۱۳۸۱)، گزارش مطالعات مکانیک سنگ، سد و نیروگاه سیمره (مطالعات مرحله دوم)، جلد ۱-۴، ص ۳۰-۱۴.
- ۲- شرکت مهندسی مشاور مهاب قدس، (۱۳۸۶)، گزارش تحلیل پایداری در بلوک‌های A و B واقع در تکیه‌گاه جناح چپ سد سیمراه، مطالعات مرحله سوم، ص ۵-۱.
- 3-Kahatadeniya. K.S, Nanakorn. P, Neupane. K.M., 2009, ‘Determination of the Critical Failure Surface for Slope Stability Analysis Using ant-colony Optimization’, Engineering Geology (108), pp 133-141.
- 4-L.C. Li, C.A. Tang, W.C. Zhu, Z.Z. Liang., 2009, ‘Numerical analysis of slope stability based on the gravity increase method’, Computers and Geotechnics(36), pp1246-1258.
- 5-Duncan C. Wyllie and Christopher W. Mah., 2004, ‘Rock Slope Engineering Civil and mining’, The Institute of Mining and Metallurgy, 4th Edition, pp 15-46.
- 6-Amadei. B., Stephansson. O., 1997, ‘Rock Stress And Its Measurement’, Published by Chapman & Hall, London. First Edition, pp 23-35.
- 7-Itasca Consulting Group, Inc. 2004, ‘UDEC, Universal Distinct Element Code’ User’s Manual, Version 4.0.
- 8-Eberhardt. E., 2003, ‘Rock Slope Stability Analysis Utilization of Advanced Numerical Techniques’, Geological Engineering\Earth And Ocean sciences at UBC, 6339 Stores Rd., Vancouver, BC, V6T 1Z4, CANADA. pp 2-4.

بعد از بررسی نتایج بدست آمده برای آن، مشخص شد که میزان تغییرات این پارامتر کمتر از ۱ درصد می‌باشد (۲/۶۸ الی ۲/۶۵). این مطلب بیانگر این موضوع است که این پارامتر برای انتخاب نسبت تنش‌های برجای بحرانی منطقه مناسب نیست. بنابراین باید به دنبال پارامتر بهتری برای نیل به این هدف بود. در مرحله بعد، پارامترهای تعداد المان‌های تسليم یافته طول ترک کششی، فاصله ترک کششی از لبه پله جهت تعیین مقدار نسبت k بحرانی مورد بررسی قرار گرفت که به دلیل اشاره شده در قسمت فوق، مورد توجه قرار نگرفت.

در ادامه، عمق لغزش و منطقه دارای نقاط پلاستیک مورد تحلیل قرار گرفت. بررسی‌ها نشان داد که به غیر از نسبت تنش برجای ($k=0/57$) بقیه مقادیر نسبت تنش‌های برجا دارای منطقه لغزش نسبتاً یکسان می‌باشند. لازم به ذکر است منطقه لغزش با نسبت تنش ($k=0/57$) کوچک‌تر از سایر موارد است. در این میان ($k=0/33$) عمق ترک کششی در نسبت تنش برجای از بقیه موارد بزرگ‌تر می‌باشد. لذا به نظر می‌رسد نسبت تنش برجای بحرانی در این تحقیق برابر $0/33$ می‌باشد.

در این تحقیق پارامترهای فاکتور ایمنی، تعداد المان‌های تسليم یافته، عمق لغزش، طول ترک کششی فاصله ترک کششی از لبه پله جهت تعیین مقدار نسبت k بحرانی مورد بررسی قرار گرفت.

